

# Лабораторна робота №3 з непараметричної статистики

Горбунов Даниїл Денисович  
1 курс магістратури  
група "Прикладна та теоретична статистика"  
Варіант №4

22 березня 2022 р.

## Вступ.

У даній роботі вказані результати підбору оптимальної ядерної оцінки вигляду:

$$\hat{f}_n(t) = \frac{1}{nh} \sum_{j=1}^n K\left(\frac{t - \xi_j}{h}\right) \quad (1)$$

для невідомої щільності розподілу  $f$ , що відповідає моделі двокомпонентної гауссової суміші з середніми  $\mu_1 = -1$ ,  $\mu_2 = 1$ , одиничними дисперсіями та ймовірністю змішування  $p = 1/2$ . У формулі (1) фігурують:  $h > 0$  – параметр згладжування,  $\xi_j$  –  $j$ -те спостереження кратної вибірки обсягу  $n$ :  $\xi = (\xi_1, \dots, \xi_n)$ ,  $K(t) = \frac{3}{4}(1 - t^2)\mathbb{1}\{|t| < 1\}$  – ядро Єпанечнікова. Позначимо  $\text{ISE}(\hat{f}_n) = \|f - \hat{f}_n\|_{L_2(\mathbb{R})}^2$ ,  $\text{MISE}(\hat{f}_n) = \mathbb{E}[\text{ISE}(\hat{f}_n)]$ ,  $\text{aMISE}(\hat{f}_n) = \frac{1}{4}\varphi D^2 H^4 + \frac{d^2}{H}$  – головна частина MISE при  $h = Hn^{-1/5}$ . Визначення  $h$  здійснено трьома підходами:

1. **Правило Сільвермана.** Припускаючи, що щільність є гауссовою, то оптимальний параметр згладжування  $h$  адаптивного методу визначається за правилом:

$$h_{\text{silv}} = \left(\frac{d^2 8\sqrt{\pi}}{3nD^2}\right)^{1/5} \hat{S},$$

де  $d^2 = \int_{-\infty}^{\infty} K^2(t)dt$ ,  $D = \int_{-\infty}^{\infty} t^2 K(t)dt$ . Якщо покласти  $\hat{S} := \sqrt{S_0^2(\xi)}$ , де  $S_0^2(\xi)$  – виправлена вибіркова дисперсія за вибіркою  $\xi$ , маємо просте правило Сільвермана. Інакше, якщо взяти  $\hat{S} = \min(\sqrt{S_0^2(\xi)}, \text{IQR}(\xi)/1.34)$ , де  $\text{IQR}(\xi)$  – інтерквартильний розмах за вибіркою  $\xi$ , отримаємо поліпшене правило Сільвермана.

2. **Непараметричний підхід.** Використовуємо адаптивний метод без додаткових припущень про відповідність щільності деякій моделі розподілу. Спочатку береться пілотна ядерна оцінка щільності  $\tilde{f}_n$  за деяким параметром згладжування. За цією оцінкою, обчислюється оцінка для  $\varphi$ :

$$\hat{\varphi} = \int_{-\infty}^{\infty} (\tilde{f}_n''(t))^2 dt$$

Використовуючи  $\hat{\varphi}$ , можна оцінити параметр згладжування, що мінімізує головну частину MISE:

$$\hat{h} = \left( \frac{d^2}{nD^2\hat{\varphi}} \right)^{1/5}$$

Остаточно будується ядерна оцінка  $\hat{f}_n$  з параметром згладжування  $\hat{h}$ .

3. **Техніка кросс-валідації.** Параметр згладжування обирається як точка мінімуму функціонала

$$CV(h) = \int_{-\infty}^{\infty} (\hat{f}_n(t))^2 dt - 2\hat{J}(h), \quad \hat{J}(h) = \frac{1}{n} \sum_{j=1}^n \hat{f}_n^{j-}(\xi_j),$$

де  $\hat{f}_n(x) = \hat{f}_n(x, h)$ ,  $\hat{f}_n^{j-}$  – ядерна оцінка щільності, побудована за спостереженнями з  $\xi$  без  $j$ -го спостереження.

## Підготовча робота.

### Інтеграли в один рядок.

Обчислимо  $d^2$ ,  $D$ , бо потрібно переконатися, що ці величини є скінченними, інакше використати вищевказану теорію буде неможливо.

$$d^2 = \int_{-\infty}^{\infty} K^2(t) dt = \frac{9}{16} \int_{-1}^1 (1-t^2)^2 dt = \frac{9}{8} \int_0^1 (1-t^2)^2 dt = \frac{9}{8} \int_0^1 (1-2t^2+t^4) dt = \frac{9}{8} \left( 1 - \frac{2}{3} + \frac{1}{5} \right) = \frac{3}{5} < +\infty$$

$$D = \int_{-\infty}^{\infty} t^2 K(t) dt = \frac{3}{4} \int_{-1}^1 t^2 (1-t^2) dt = \frac{3}{2} \left( \frac{1}{3} - \frac{1}{5} \right) = \frac{1}{5} < +\infty$$

Величини справді скінченні – теорія застосовна до нашого випадку.

### Функція підрахунку ядерної оцінки щільності.

Функція, що повертає іншу функцію для підрахунку значень ядерної оцінки щільності:

```
dens.estim <- function(x, h, K)
{
  n <- length(x)
  g <- function(t) { sum(K((t - x) / h)) / (n * h) }
  gv <- function(t) { sapply(t, g) }; gv
}
```

Програмна реалізація підрахунку ядра Єпанечнікова:

```
epan.kernel <- function(t) { 3/4 * (1 - t^2) * (abs(t) < 1) }

# Ті самі значення інтегралів, що рахували на початку
ep.d.sq <- 3/5
ep.D <- 1/5
```

## Гауссова двокомпонентна суміш: генерування послідовностей та обчислення характеристик.

Опишемо програмну реалізацію генерування псевдовипадкових послідовностей із заданим розподілом з використанням стандартного генератора в R:

```
r.norm.mixt <- function(n, m1, m2, s1, s2, p)
{
  ind <- sample(c(1, 2), n, replace = T, prob = c(p, 1 - p))
  rnorm(n, mean = c(m1, m2)[ind], sd = c(s1, s2)[ind])
}
```

Реалізуємо підрахунок щільності заданого розподілу:

```
d.norm.mixt <- function(t, m1, m2, s1, s2, p)
{
  p * dnorm(t, m1, s1) + (1 - p) * dnorm(t, m2, s2)
}
```

Додатково опишемо обчислення функції розподілу та квантилів – це знадобиться для побудови графіків:

```
p.norm.mixt <- function(t, m1, m2, s1, s2, p)
{
  p * pnorm(t, m1, s1) + (1 - p) * pnorm(t, m2, s2)
}

q.norm.mixt <- function(alpha, m1, m2, s1, s2, p, q0 = 1)
{
  P <- function(q) { p.norm.mixt(q, m1, m2, s1, s2, p) - alpha }
  nleqslv::nleqslv(q0, P)$x
}
```

## Параметричний підхід. Правило Сільвермана.

Спочатку опишемо функцію, де можна підставити довільну оцінку для розкиду, а потім розглянемо часткові випадки (про які згадувалося раніше):

```
# Правило Сільвермана: загальна формула
h.silv.rule <- function(d.sq, D, n, sigma.est)
{ sigma.est * ((8 * sqrt(pi) * d.sq) / (3 * D^2 * n))^(1/5) }

# Просте правило Сільвермана
h.silv.simple <- function(d.sq, D, x)
{ h.silv.rule(d.sq, D, length(x), sd(x)) }

# Поліпшене правило Сільвермана
h.silv.improved <- function(d.sq, D, x)
{ h.silv.rule(d.sq, D, length(x), min(sd(x), IQR(x)/1.34)) }
```

## Теоретично оптимальний параметр згладжування.

Обчислимо теоретично оптимальний параметр згладжування  $h_{opt}$  за формулою

$$h_{opt} = \left( \frac{d^2}{nD^2\varphi} \right)^{1/5}, \quad \varphi = \int_{-\infty}^{+\infty} (f''(t))^2 dt$$

де  $f(t) = \frac{1}{2\sqrt{2\pi}} \left( e^{-(t-1)^2/2} + e^{-(t+1)^2/2} \right)$  – щільність, яка досліднику невідома. Неважко показати, що

$$f''(t) = \frac{1}{2\sqrt{2\pi}} \left( ((t-1)^2 - 1)e^{-(t-1)^2/2} + ((t+1)^2 - 1)e^{-(t+1)^2/2} \right)$$

А тому квадрат від другої похідної матиме вигляд:

$$\begin{aligned} (f''(t))^2 &= \frac{1}{8\pi} \left( ((t-1)^2 - 1)e^{-(t-1)^2/2} + ((t+1)^2 - 1)e^{-(t+1)^2/2} \right)^2 = \\ &= \frac{1}{8\pi} \left( ((t-1)^2 - 1)^2 e^{-(t-1)^2} + 2((t-1)^2 - 1)((t+1)^2 - 1)e^{-(t+1)^2/2 - (t-1)^2/2} + ((t+1)^2 - 1)^2 e^{-(t+1)^2} \right) \\ &= \frac{1}{8\pi} \left( ((t-1)^2 - 1)^2 e^{-(t-1)^2} + 2((t-1)^2 - 1)((t+1)^2 - 1)e^{-(t+1)^2/2 - (t-1)^2/2} + ((t+1)^2 - 1)^2 e^{-(t+1)^2} \right) \end{aligned}$$

Обчислимо інтеграли:

$$\begin{aligned} \int_{-\infty}^{+\infty} ((t-1)^2 - 1)^2 e^{-(t-1)^2} dt &= \left| z = t - 1 \right| = \int_{-\infty}^{+\infty} (z^2 - 1)^2 e^{-z^2} dz = \left| z = u/\sqrt{2} \right| = \\ &= \sqrt{\pi} \cdot \frac{1}{\sqrt{2\pi}} \int_{-\infty}^{+\infty} \left( \frac{u^2}{2} - 1 \right)^2 e^{-\frac{u^2}{2}} du = \sqrt{\pi} \cdot \frac{1}{\sqrt{2\pi}} \int_{-\infty}^{+\infty} \left( \frac{u^4}{4} - u^2 + 1 \right) e^{-\frac{u^2}{2}} du = \\ &= \sqrt{\pi} \left( \frac{3}{4} - 1 + 1 \right) = \sqrt{\pi} \cdot \frac{3}{4} \end{aligned}$$

Аналогічно можна показати, що

$$\int_{-\infty}^{+\infty} ((t+1)^2 - 1)^2 e^{-(t+1)^2} dt = \sqrt{\pi} \cdot \frac{3}{4}$$

Залишається обчислити другий інтеграл:

$$\begin{aligned} \int_{-\infty}^{+\infty} ((t-1)^2 - 1)((t+1)^2 - 1)e^{-t^2-1} dt &= \left| t = z/\sqrt{2} \right| = \\ &= \frac{\sqrt{\pi}}{e} \cdot \frac{1}{\sqrt{2\pi}} \int_{-\infty}^{+\infty} \left( \left( \frac{z}{\sqrt{2}} - 1 \right)^2 - 1 \right) \left( \left( \frac{z}{\sqrt{2}} + 1 \right)^2 - 1 \right) e^{-\frac{z^2}{2}} dz = \\ &= \frac{\sqrt{\pi}}{e} \cdot \frac{1}{\sqrt{2\pi}} \int_{-\infty}^{+\infty} \left( \frac{z^4}{4} - 2z^2 \right) e^{-\frac{z^2}{2}} dz = \frac{\sqrt{\pi}}{e} \left( \frac{3}{4} - 2 \right) = -\frac{\sqrt{\pi}}{e} \cdot \frac{5}{4} \end{aligned}$$

Отже  $\varphi = \frac{1}{8\sqrt{\pi}} \cdot \left(\frac{3}{2} - \frac{5}{2e}\right) \approx 0.040925$ , звідки

$$h_{opt} = n^{-1/5} \left( 15 \cdot \left( \frac{1}{8\sqrt{\pi}} \cdot \left( \frac{3}{2} - \frac{5}{2e} \right) \right)^{-1} \right)^{1/5} \approx n^{-1/5} \cdot 3.257021$$

Програмна реалізація очевидна, тому не наводиться.

## Непараметричний підхід.

Ядерна функція має простий вигляд, можна "погратися" з спрощенням обчислень. Перші дві похідні  $K(t)$  мають вигляд:

$$K'(t) = -\frac{3}{2} \cdot t \cdot \mathbb{1}\{|t| < 1\}, \quad K''(t) = -\frac{3}{2} \cdot \mathbb{1}\{|t| < 1\}$$

Можна собі дозволити спрощення запису для  $\hat{f}_n''(t)$ :

$$\hat{f}_n''(t) = \frac{1}{nh^3} \sum_{j=1}^n K''\left(\frac{t - \xi_j}{h}\right) = -\frac{3}{2} \cdot \frac{1}{nh^3} \sum_{j=1}^n \mathbb{1}\{|t - \xi_j| < h\}$$

Тоді, припускаючи що  $\xi_i \leq \xi_j$  при  $i < j$ :

$$\begin{aligned} \left(\hat{f}_n''(t)\right)^2 &= \frac{9}{4} \cdot \frac{1}{n^2 h^6} \sum_{i=1}^n \sum_{j=1}^n \mathbb{1}\{\xi_i - h < t < \xi_i + h\} \mathbb{1}\{\xi_j - h < t < \xi_j + h\} = \\ &= \frac{9}{4} \cdot \frac{1}{n^2 h^6} \left( \sum_{j=1}^n \mathbb{1}\{\xi_j - h < t < \xi_j + h\} + 2 \sum_{i=1}^n \sum_{j < i} \mathbb{1}\{\xi_i - h < t < \xi_i + h\} \mathbb{1}\{\xi_j - h < t < \xi_j + h\} \right) \end{aligned}$$

Тому можна спробувати спростити запис для  $\hat{\varphi}$ :

$$\begin{aligned} \hat{\varphi} &= \int_{-\infty}^{+\infty} \left(\hat{f}_n''(t)\right)^2 dt = \frac{9}{2} \cdot \frac{1}{n^2 h^6} \left( nh + \sum_{i=1}^n \sum_{j < i} \int_{-\infty}^{+\infty} \mathbb{1}\{\xi_i - h < t < \xi_i + h\} \mathbb{1}\{\xi_j - h < t < \xi_j + h\} dt \right) = \\ &= \frac{9}{2} \cdot \frac{1}{n^2 h^6} \left( nh + \sum_{i=1}^n \sum_{j < i} (\xi_j - \xi_i + 2h) \cdot \mathbb{1}\{\xi_j - \xi_i + 2h > 0\} \right) \end{aligned}$$

А тому можна не звертатися до чисельних методів інтегрування і все порахувати "в лоб":

```
phi.estim.epan <- function(x, h.pilot)
{
  n <- length(x); idx <- 1:n; sx <- sort(x)
  s <- n * h.pilot + sum(sapply(idx[-1], function(i) {
    deltai <- sx[idx < i] - sx[i] + 2 * h.pilot
    sum(deltai * (deltai > 0))
  })))
  s * 9/2 * 1/(n^2 * h.pilot^6)
}

h.nonparam.epan <- function(x, h.pilot)
{
  phi.estim <- phi.estim.epan(x, h.pilot)
  (ep.d.sq / (length(x) * ep.D^2 * phi.estim))^(1/5)
}
```

## Техніка кросс-валідації.

Можна знову повеселитися з спрощеннями. Доведемо, що  $CV(h)$  можна подати у більш зручній формі для обчислення:

$$\begin{aligned} CV(h) &= \int_{-\infty}^{\infty} (\hat{f}_n(t))^2 dt - \frac{2}{n} \sum_{i=1}^n \hat{f}_n^{i-}(\xi_i) = \\ &= \frac{1}{n^2 h^2} \sum_{i=1}^n \sum_{j=1}^n \int_{-\infty}^{+\infty} K\left(\frac{t-\xi_i}{h}\right) K\left(\frac{t-\xi_j}{h}\right) dt - \frac{2}{n(n-1)h} \sum_{i=1}^n \sum_{j \neq i}^n K\left(\frac{\xi_i - \xi_j}{h}\right) \end{aligned}$$

Легко бачити, що інтеграл у подвійній сумі – це згортка ядер (врахувавши парність ядра):

$$\int_{-\infty}^{+\infty} K\left(\frac{t-\xi_i}{h}\right) K\left(\frac{t-\xi_j}{h}\right) dt = \left| z = \frac{t-\xi_j}{h} \right| = h \int_{-\infty}^{+\infty} K(z) K\left(z - \frac{\xi_i - \xi_j}{h}\right) dz = h(K * K)\left(\frac{\xi_i - \xi_j}{h}\right)$$

Отже  $CV$  - функціонал спрощується до вигляду:

$$\begin{aligned} CV(h) &= \frac{1}{n^2 h} \left( nd^2 + 2 \sum_{i=1}^n \sum_{j < i} (K * K)\left(\frac{\xi_i - \xi_j}{h}\right) \right) - \frac{4}{n(n-1)h} \sum_{i=1}^n \sum_{j < i} K\left(\frac{\xi_i - \xi_j}{h}\right) = \\ &= \frac{1}{nh} \left( d^2 + 2 \sum_{i=1}^n \left( \frac{1}{n} \sum_{j < i} (K * K)\left(\frac{\xi_i - \xi_j}{h}\right) - \frac{2}{n-1} \sum_{j < i} K\left(\frac{\xi_i - \xi_j}{h}\right) \right) \right) \end{aligned}$$

Програмна реалізація матиме вигляд (де згортка була попередньо обчислена на папері):

```
f.a <- function(t, a) { ((1 + t)^a - (-1)^a) / a }

epan.kernel.conv <- function(t)
{
  ifelse(abs(t) >= 2, 0, {
    z <- -abs(t)
    (1-z^2) * f.a(z,1) + 2*z*(f.a(z,2) - f.a(z,4)) + (z^2-2)*f.a(z,3) + f.a(z,5)
  })
}

CV.h <- function(h, x)
{
  n <- length(x); idx <- 1:n
  double.sum <- sum(sapply(idx, function(j) {
    delta <- (x[idx < j] - x[j])/h
    A <- sum(epan.kernel.conv(delta)) * 9/16; B <- sum(epan.kernel(delta))
    A / n - 2 * B / (n - 1)
  })))
  (ep.d.sq + 2 * double.sum) / (n * h)
}

h.crossvalid <- function(x, h.min, h.max)
{ optimize(function(h) { CV.h(h, x) }, c(h.min, h.max))$minimum }
```

## Емпіричний аналог MISE. Обчислення aMISE.

На кожній повторній вибірці рахуємо ISE, далі – беремо середнє арифметичне.

```
l2.sq <- function(f, g, a = -Inf, b = +Inf, n.subdiv = 10^4)
{
  i <- integrate(function(t) { (f(t) - g(t))^2 },
                  a, b, subdivisions = n.subdiv, stop.on.error = F)
  i$value
}

# Побудова графіку емпіричного MISE як функції від h
plot.l2.sq <- function(f, K, num.gen, N, seed.val = 0, n.sub = 10^3,
                      h.min = 0.01, h.max = 2, h.n = 200, B = 100)
{
  set.seed(seed.val)
  h.vals <- ((h.n-1):0)/(h.n-1) * h.min + (0:(h.n-1))/(h.n-1) * h.max
  l2.val <- rep(0, h.n)
  for(b in 1:B)
  {
    x.boot <- r.gen(N)
    for(j in 1:h.n)
    {
      l2.val[j] <- l2.val[j] + l2.sq(f, dens.estim(x.boot, h.vals[j], K))
    }
  }
  l2.val <- l2.val / B
  plot(h.vals, l2.val, type = "l",
       xlab = "smoothing", ylab = "l2-squared",
       main = paste("distance plot, N =", N, ", B =", B))
  grid()
}
```

Програмна реалізація далека від хорошої, обчислення інтегралів не оптимізовано. Тому, наприклад, навіть при  $N = 1000$  функція `plot.l2.sq` виконувалася близько п'яти хвилин. От для обчислення aMISE все просто реалізується (будемо чесними, все більш-менш нескладно реалізувати):

```
true.phi.val <- (3/2 - 5/(2*exp(1))) / (8 * sqrt(pi))

aMISE <- function(H)
{
  1/4 * true.phi.val * ep.D^2 * H^4 + ep.d.sq / H
}
```

## Моделювання, застосування.

Далі змодельуємо три вибірки з різних зернин відповідно: 0 (Seed 1), 543787 (Seed 2) та 1912346 (Seed 3) (числа набиралися випадковим набиранням цифр з клавіатури). Продемонструємо застосування на вибірках обсягу: 500, 1000, 10000. Усі висновки будуть зроблені на око, хоча для  $N = 1000$  зробимо графік оцінки MISE (по  $B = 100$  повторних вибірках) як функції від параметра згладжування  $h > 0$ .

N = 500	Seed 1	Seed 2	Seed 3
h.silv.s	0.9267131	0.8979114	0.9840562
h.silv.i	0.9267131	0.8979114	0.9840562
h.nonp	0.4211175	0.4072796	0.4461268
h.cv	1.310031	1.088848	0.6199906
<b>h.theor</b>	<b>0.9397807</b>		
N = 1000	Seed 1	Seed 2	Seed 3
h.silv.s	0.8497688	0.8291105	0.8668361
h.silv.i	0.8497688	0.8291105	0.8668361
h.nonp	0.3439314	0.3354204	0.3504855
h.cv	1.071575	1.054707	0.6810802
<b>h.theor</b>	<b>0.8181266</b>		
N = 10000	Seed 1	Seed 2	Seed 3
h.silv.s	0.5279088	0.5191472	0.5237334
h.silv.i	0.5279088	0.5191472	0.5237334
h.nonp	0.1470581	0.1446232	0.1459301
h.cv	0.5381125	0.5670538	0.5278922
<b>h.theor</b>	<b>0.516203</b>		

Табл. 1: Значення параметрів згладжування при різних  $N$  та на різних вибірках. h.silv.s – просте правило Сільвермана, h.silv.i – поліпшене правило Сільвермана, h.nonp – непараметрична адаптивна оцінка, h.cv – приблизна точка мінімуму модифікованого функціонала кросс-валідації, h.theor – теоретично оптимальне значення.

Чесно кажучи, автор роботи на око підібрав би приблизно такі самі значення, що відповідають теоретично оптимальним. Зосередимося на графічних результатах.



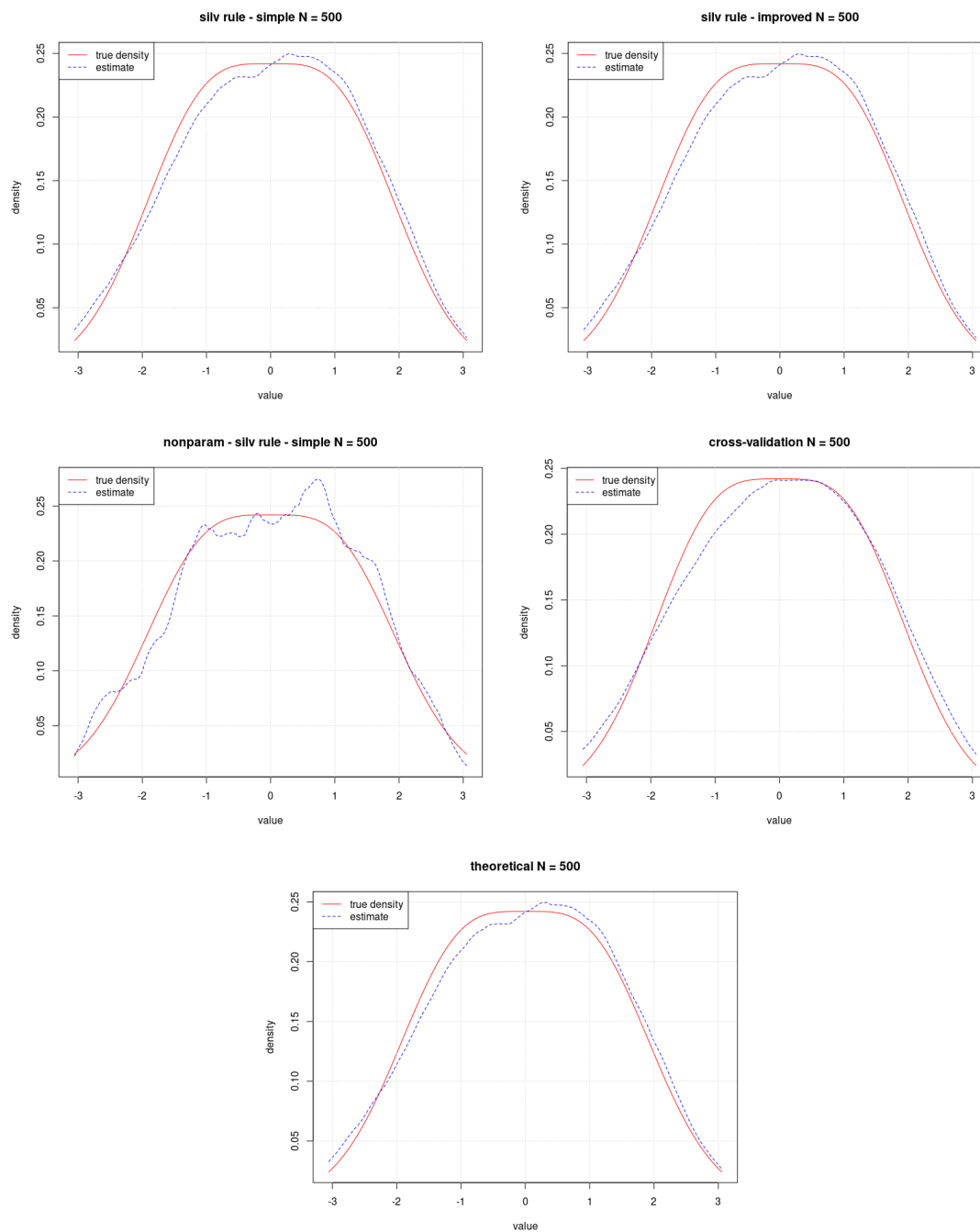


Рис. 1: Графіки ядерних оцінок: Seed 1,  $N = 500$ .

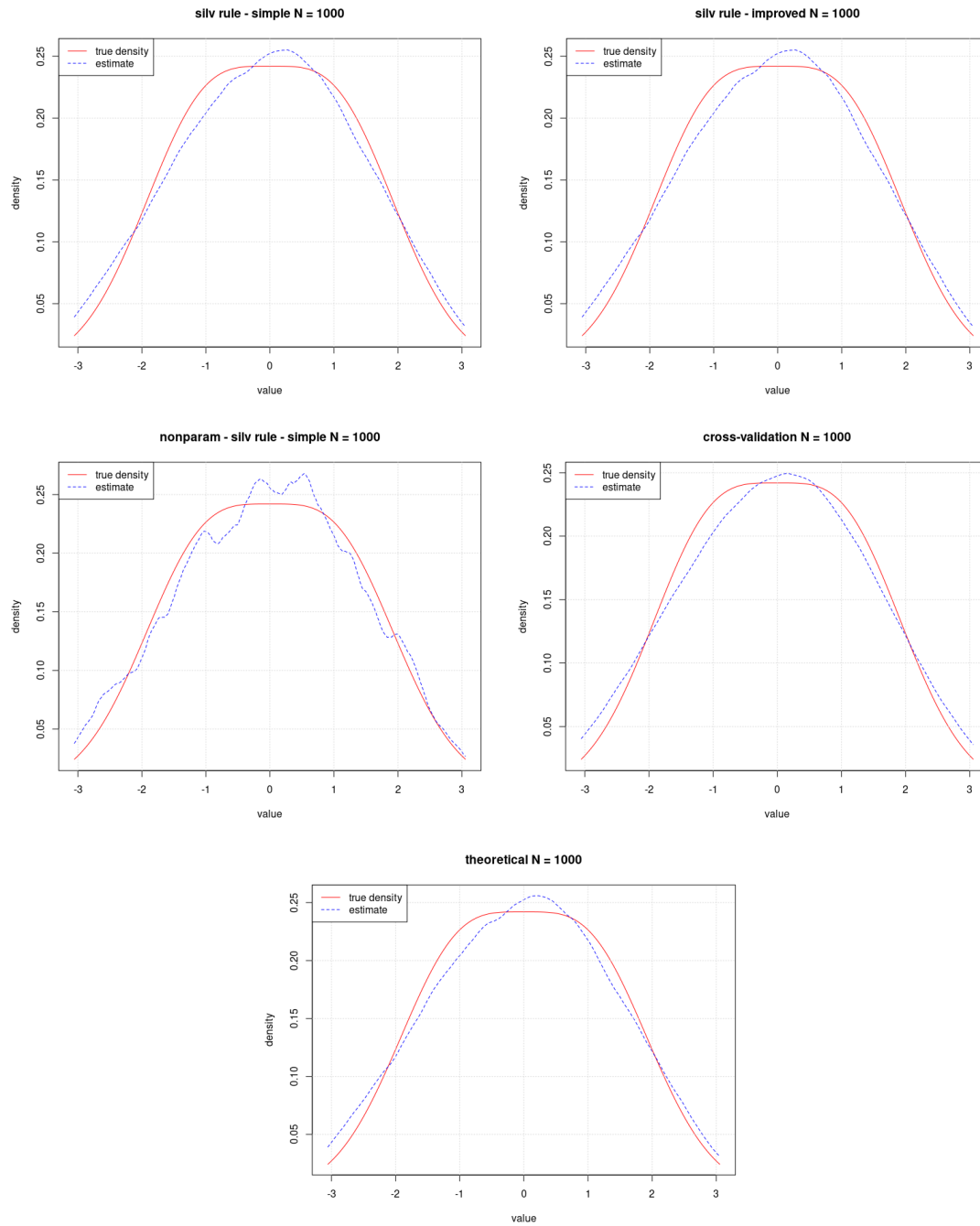


Рис. 2: Графіки ядерних оцінок: Seed 1,  $N = 1000$ .

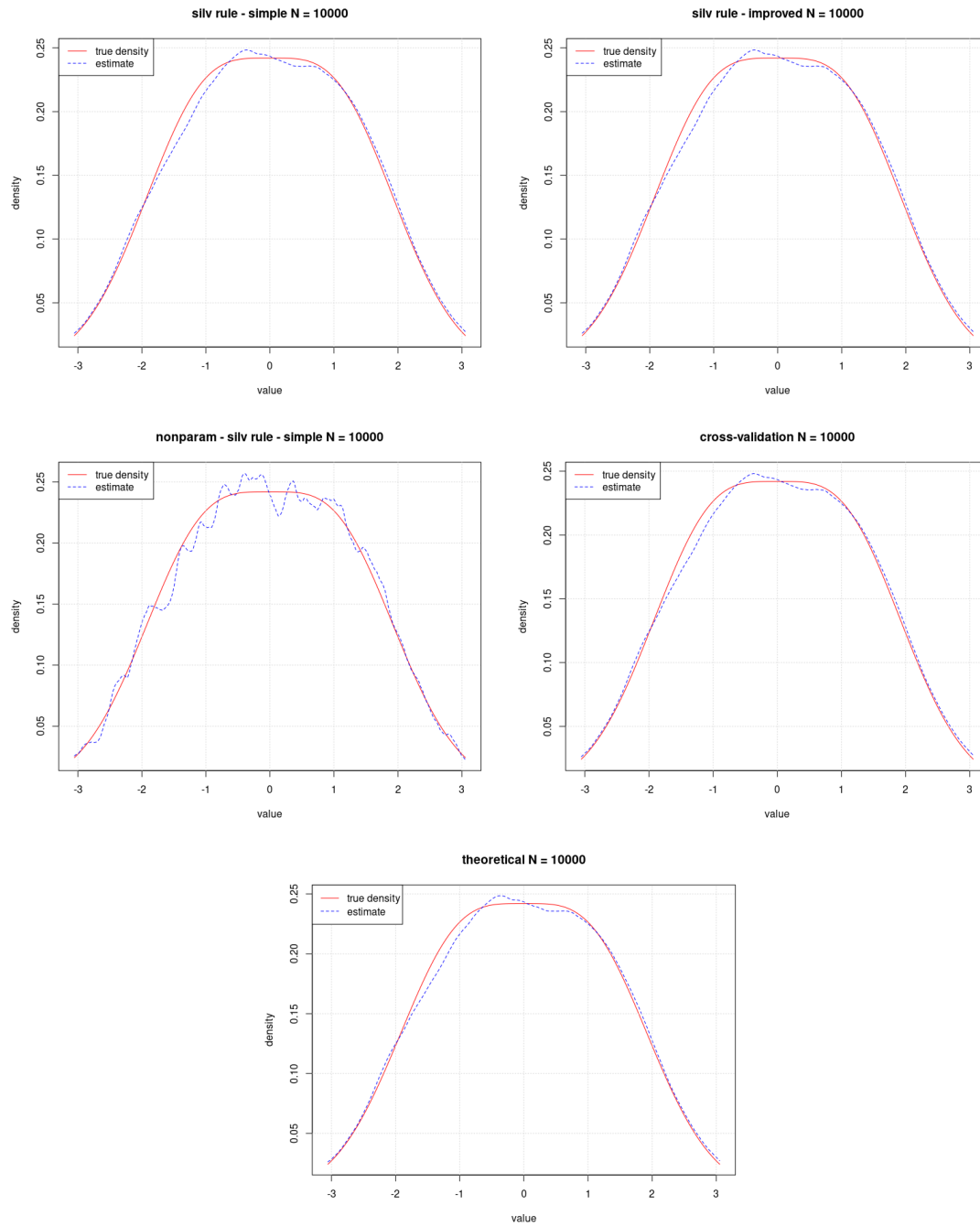


Рис. 3: Графіки ядерних оцінок: Seed 1,  $N = 10000$ .

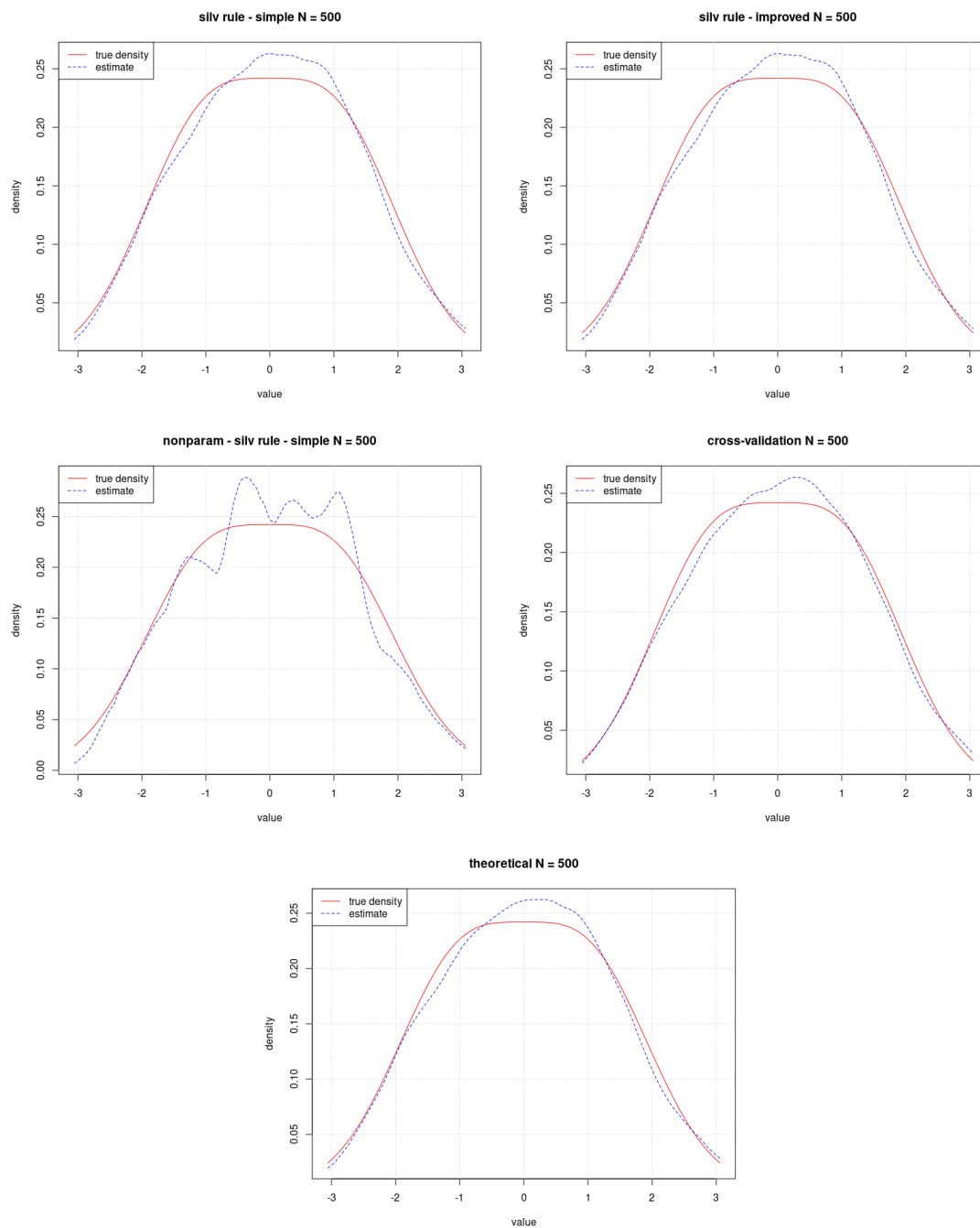


Рис. 4: Графіки ядерних оцінок: Seed 2,  $N = 500$ .

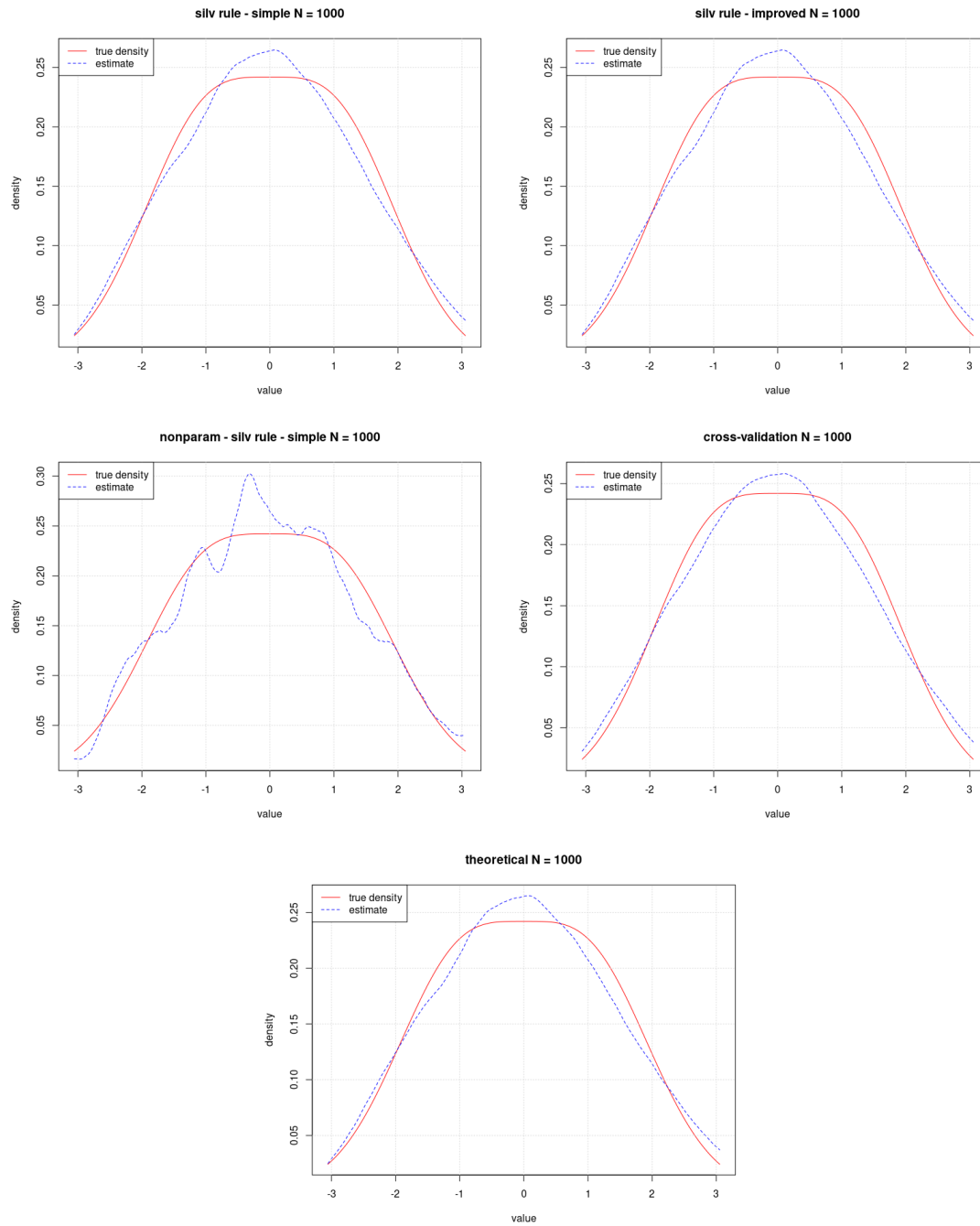


Рис. 5: Графіки ядерних оцінок: Seed 2,  $N = 1000$ .

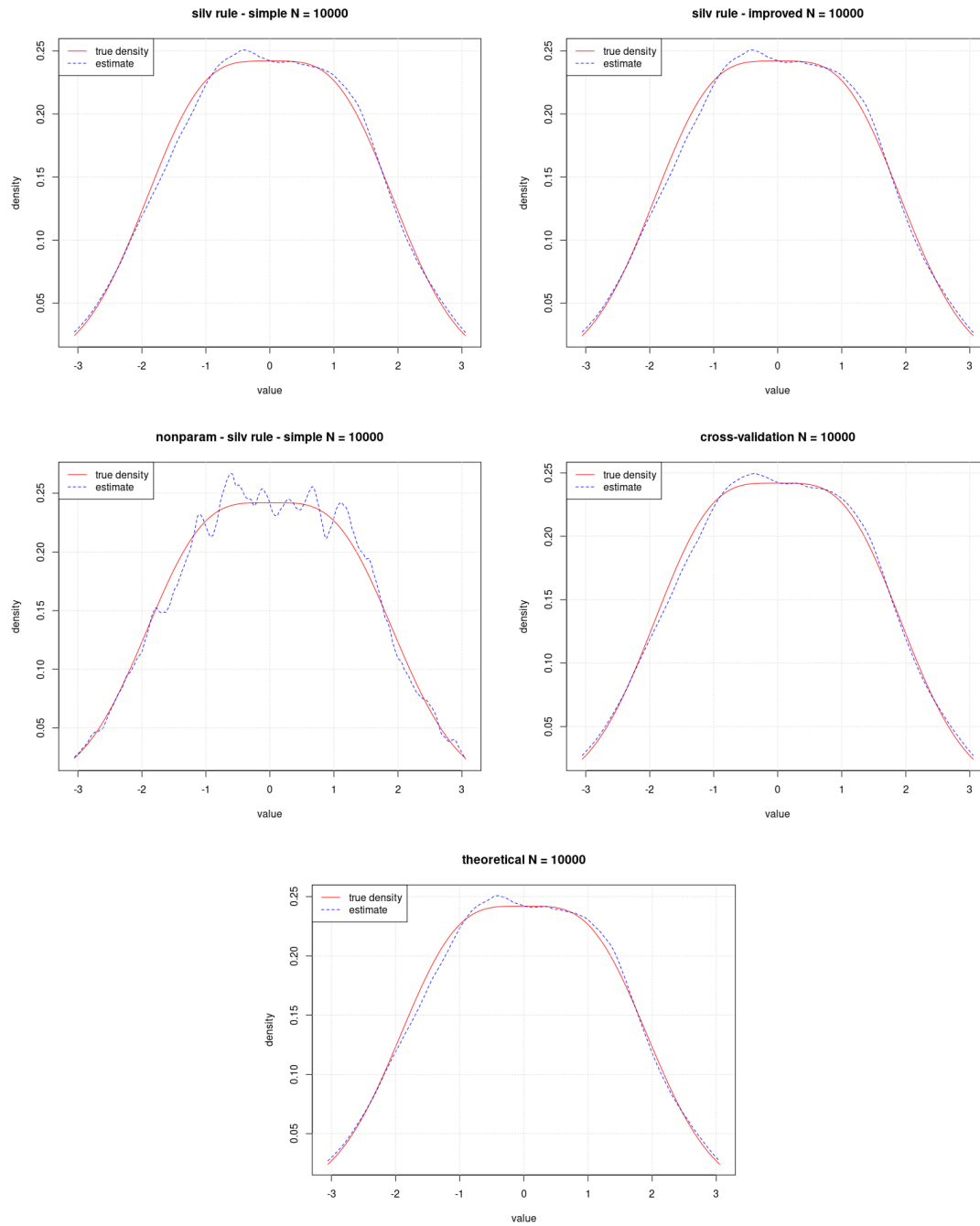


Рис. 6: Графіки ядерних оцінок: Seed 2,  $N = 10000$ .

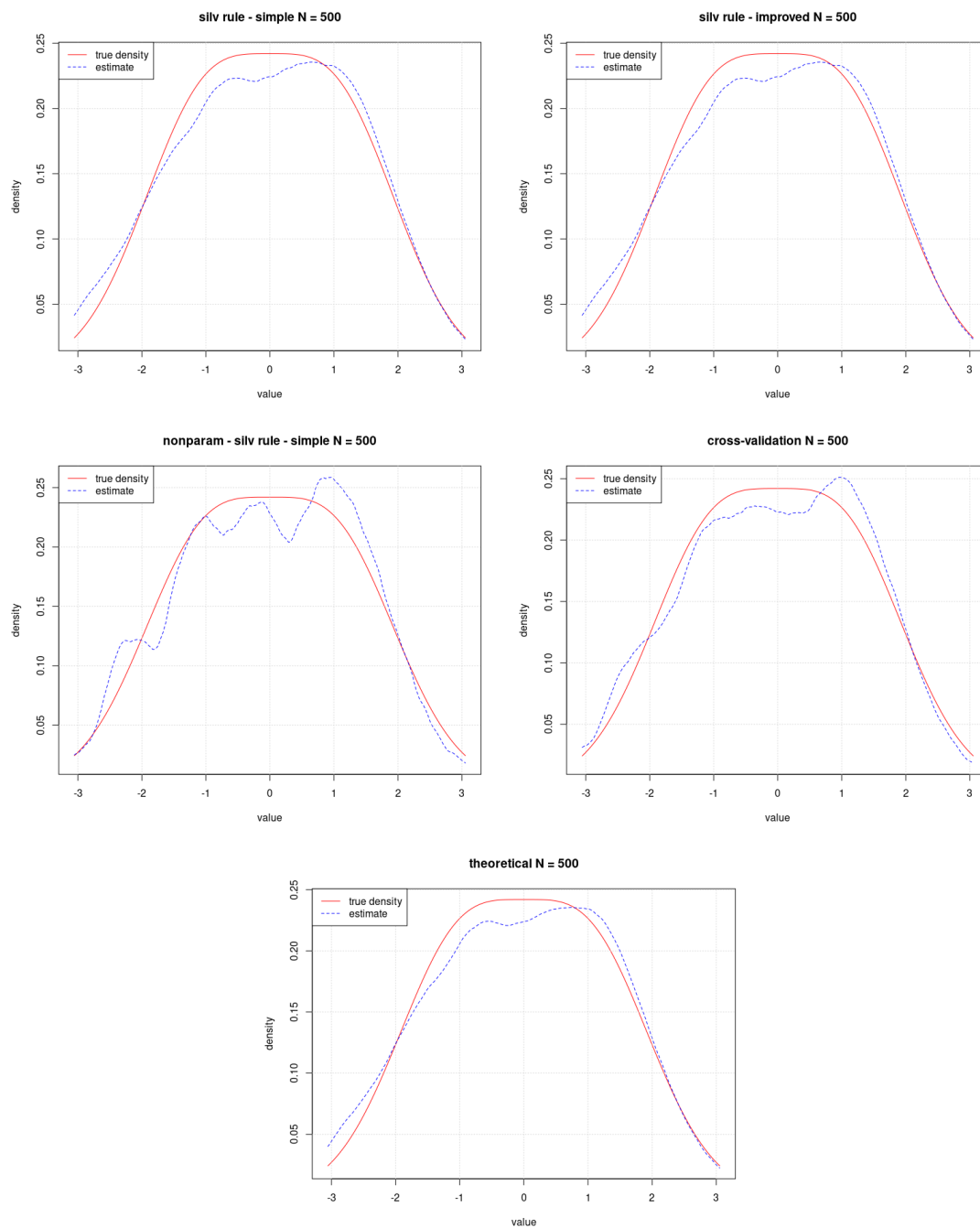


Рис. 7: Графіки ядерних оцінок: Seed 3,  $N = 500$ .

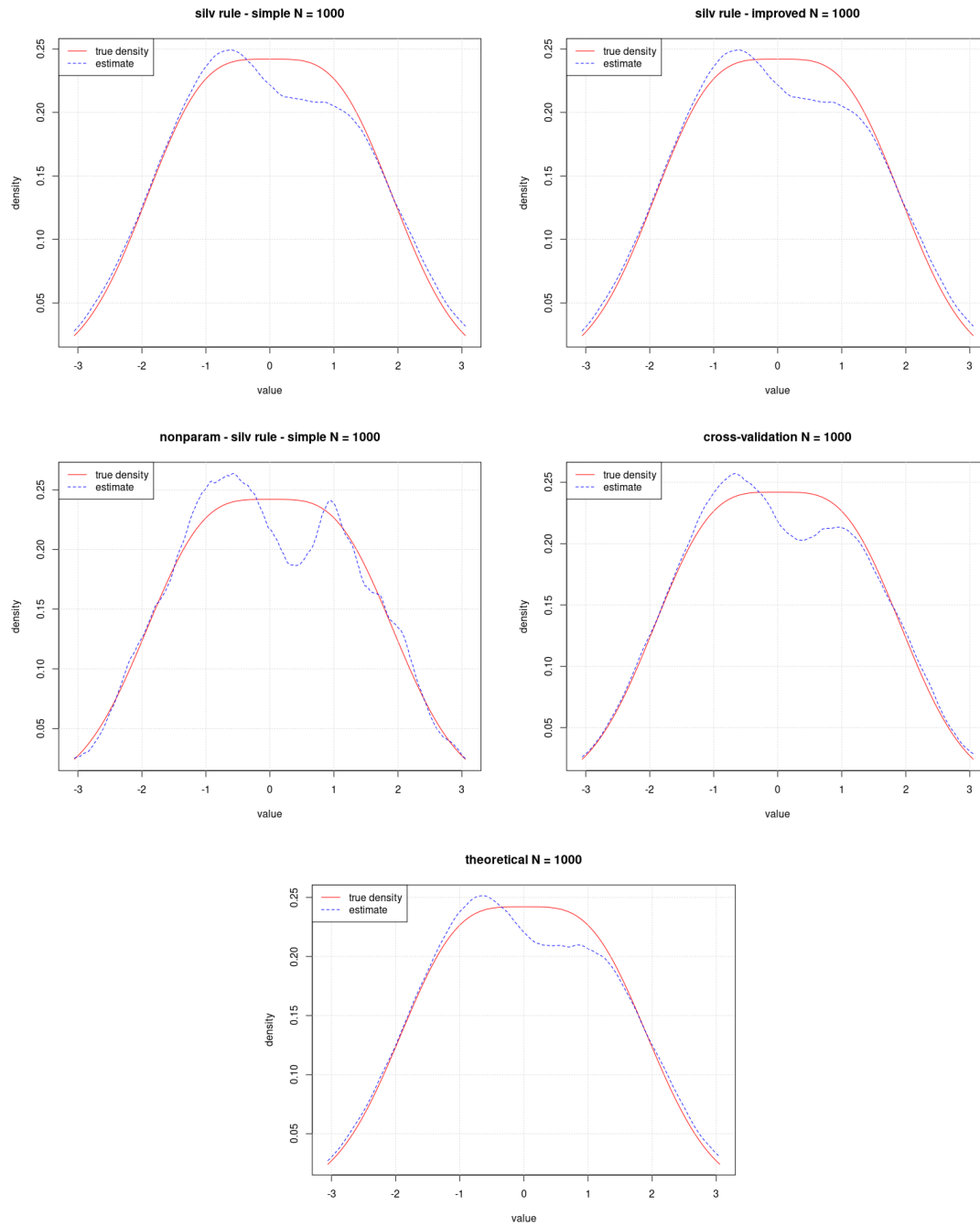


Рис. 8: Графіки ядерних оцінок: Seed 3,  $N = 1000$ .



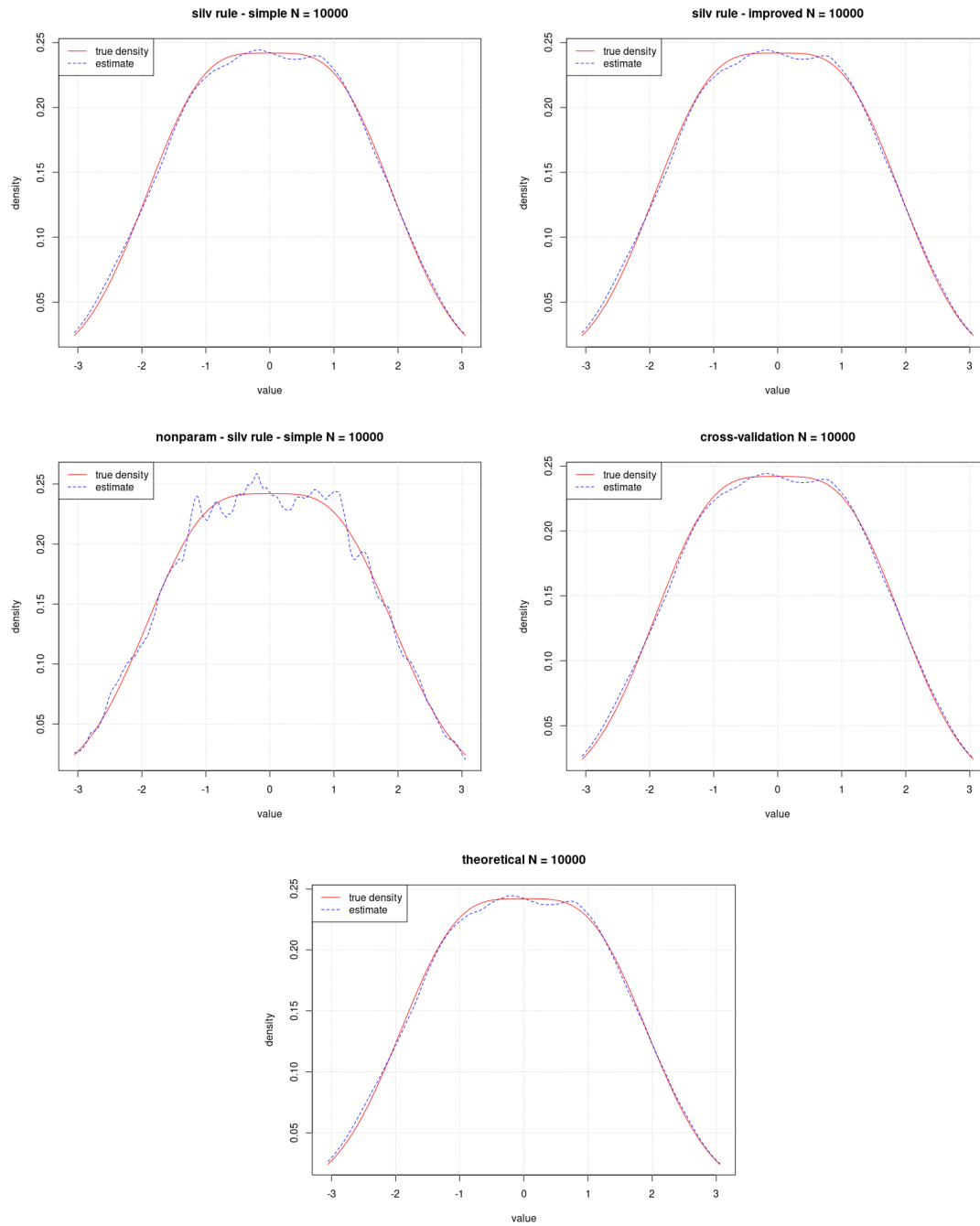


Рис. 9: Графіки ядерних оцінок: Seed 3,  $N = 10000$ .

Далі зобразимо графіки емпіричного MISE та aMISE для різних  $N = 500, 1000, 10000$ . На графіках відмічені значення різних оцінок параметра згладжування за вибіркою з зернини "Seed 1". Зокрема відмічено теоретично оптимальне значення параметра згладжування.

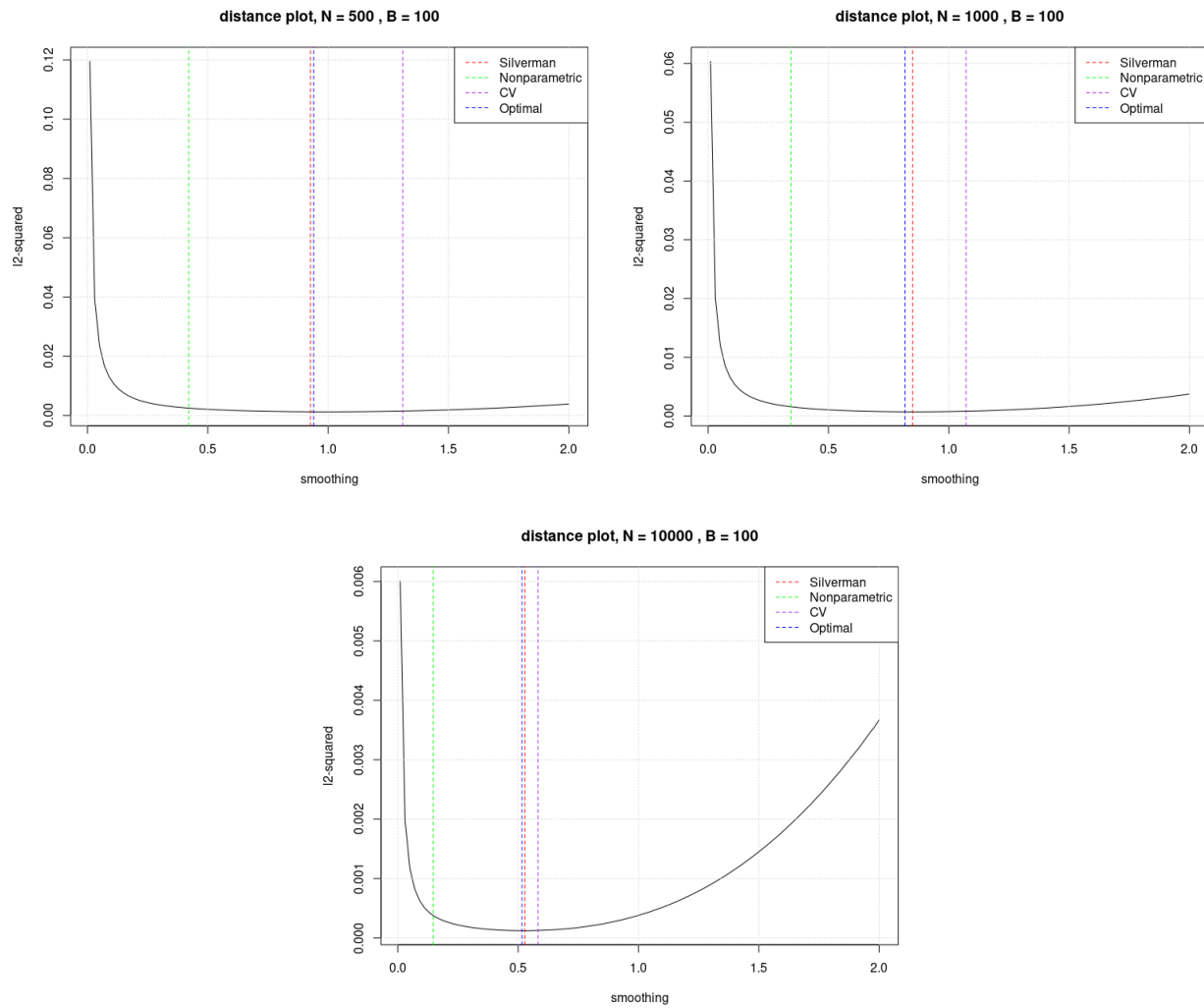


Рис. 10: Графіки емпіричного аналогу MISE,  $N = 500, 1000, 10000$ ; Seed 1. Вертикальними лініями відмічені значення оцінок параметрів згладжування різними методами та, зокрема, оптимального значення.

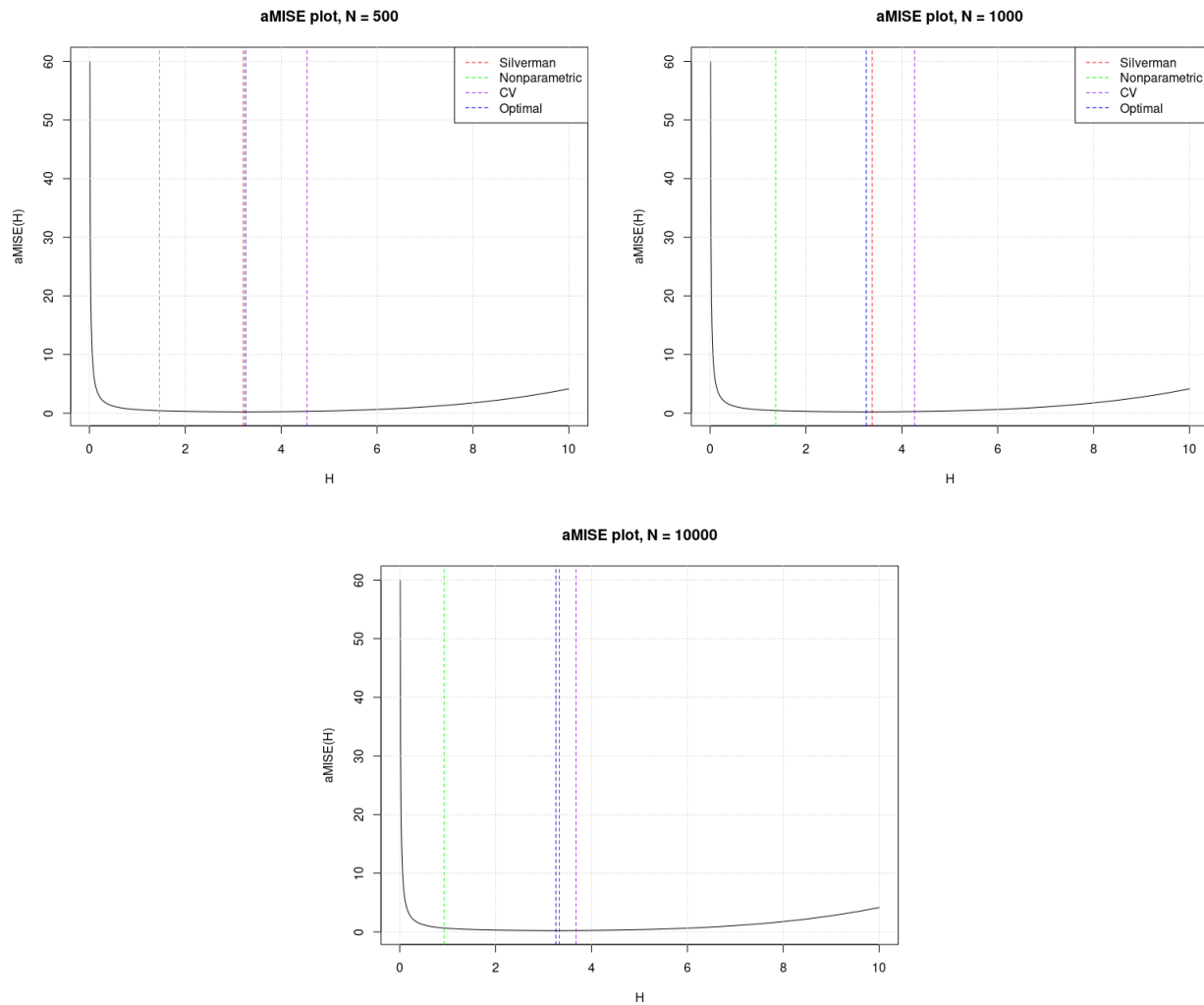


Рис. 11: Графіки емпіричного аналогу aMISE,  $N = 500, 1000, 10000$ ; Seed 1. Вертикальними лініями відмічені значення оцінок параметрів згладжування різними методами та, зокрема, оптимального значення.

## Висновки.

Теорема Стоуна для оцінки параметра згладжування методом кросс-валідації справджується на практиці: при збільшенні обсягу вибірки, відповідна оцінка наближається до оптимального. Теоретична щільність розподілу є унімодальною, що відіграло на доцільність використання правила Сільвермана. Загалом як кросс-валідаційні, так і за правилом Сільвермана оцінки дають непогані результати. Непараметрична (адаптивна) оцінка підвела у даній задачі: оцінене значення виходить занадто малим, що призводить до ефекту недозгладжування (варто звернути увагу на "шершавість" графіків ядерних оцінок з відповідним параметром згладжування). Втім, сильного відхилення від оптимальних мало чим відрізняється в сенсі досягнутого квадратичного ризику. Використовувати непараметричну оцінку здається не найкращим з рішень, оскільки простіша в обчисленні оцінка за правилом Сільвермана дає кращі наближення.